

(A_{eff}) $30\mu m^2$, 1550nm, $0.023ps/nm^2/km$,
 (A_{eff}) $50\mu m^2$, $0.07ps/nm^2/km$
 (Y. Terasawa, et al., " Design Optimization of Dispersion Shifted Fiber with Enlarged Mode Field Diameter for WDM Transmissio n", IOOC '95, FA2 - 2).

550nm, 2m, $5ps/nm/km$, $1.55\mu m$ (1500nm 1600nm), $50\mu m^2$, $0.02ps/nm^2/km$,
 1550nm, $5ps/nm/km$, $50\mu m^2$, $0.02ps/nm^2/km$,
 S/N 가 , 가 ,
 $70\mu m^2$ 가 , 가 , $50\mu m^2$,
 $45\mu m^2$, $0.03ps/nm^2/km$ 가 .

가 1 , 1
 가 2 , 1
 가 3 (3).
 가 2 ()
 가 , 3
 1550nm, $0.15ps/km^{1/2}$, 가
 $32\mu m$, 2m, $0.5dB/1.4\mu m$

3 가 , 3 가
 , 2 , b, 3 c, 3
 n_3

n_3 0.25%

0.40 b/c 0.75

r , 3 , n(r) , r,

$$\int_{b/2}^{c/2} \Delta n(r) r dr \geq 7.0 (\% \cdot \mu m^2)$$

2 , ,
 3 , 1 a, 2
 b, 3 c, 2 1 n_{1,2} 1
 n_4

0.40% n_1 0.90%

n_4 -0.02%

0.20 a/c 0.35

20 μ m c 30 μ m

가 , , $\pm 2\%$
 ($\pm 2\%$, 가) , 가 ,
 가 가 , (,) .
 가 가 $\pm 2\%$,
 003ps/nm²/km 가 $\pm 2\%$, 0.

1A , 1B 1A L1

- 2 1B 가 1()
- 3 2(+)
- 4 3 가 2
- 5A 3 , 5B 5A L
- 2
- 6 , 5B 가 3(3 +)
- 7 4(3)
- 8 7 가 4
- 9 1 4
- 10 5B 가 1 5 , 1 5 3 2
(b2/c2) 2 () 3 (n₃)
- 11A 11B 5B 가 1 5 , (3 c2)
(ps/nm²/km)
- 12A 12B 5B 가 1 5 , (3 c2)
(μm)
- 13A 13C , 5B ()
- 14 13A 13C 가 6 8
- 15A 15D , 13B 가 7 , 7 ,
(3 (μm²) , 15B (μm) 20mm (dB/m) , 15
C (μm) (ps/nm²/km) , 15D (μm) (ps/n
m/km)
- 16A 16B , 8 ,
16A , (ps/nm/km) (ps/nm²/km) , 16B
(%) (ps/nm²/km/%)
- 17A (mm) (dB/m) , 17B , (km) (μm)
- 18A 1 5 , 3 (% · μm²) (ps/nm²/km)
, 18B , 1 5 3 (% · μm²) (μm)

[]

, 1A, 1B, 2 4, 5A, 5B, 6 10, 11A
 13C, 14, 15A 18B . ,

500nm 1600nm 가 1 2 가 , 1.55 μ m 1 2 (1
 가 1.55 μ m
 가

2 /km , 45 μ m 2 , 50 μ m 2 , 1550nm , 70 μ m 2 , A_{eff} , 5ps/nm/km , 0.03ps/nm
 0.02ps/nm 2 /km , 2m 1.0 μ m 가 .
 , 1550nm , 0.15ps/km $^{1/2}$
 , 32mm (mandrel) , 0.5dB/ . , 1

1 가 1 , 1 가 2 가 1 ,
 , 2 가 1 , 1 가 1 가 2 ,
 , 3 , 2m 가 3 가 3
 1 가 2 () , 1.4 μ m , 1
 1 가 2 () .

, 3 가 , 2 b, 3 c,
 (2) 3 n $_3$,

n $_b$ 0.25%

0.40 b/c 0.75

r , 3 , n(r) , r,

$$\int_{b/2}^{c/2} \Delta n(r) r dr \geq 7.0 (\% \cdot \mu m^2)$$

, 3
 2 b, 3 c, 2 1 n₁, 2 a, 1
 n₄ ,

0.40% n₁ 0.90%

n₄ - 0.02%

0.20 a/c 0.35

20μm c 30μm

(4)

(n_T - n_R)/n_R... (4)

, n_T , n_R (,
 , (4) 가) . , ,
 , 가 .

가

±2%

±2%

0.003ps/nm²/km

2 , 가 1
 3 , 가 . ,
 4 3 가 .

[1]

, 1A , 1 , 1B , 1A L1
 , L1 (100) , (100) , (200) ,
 (300) , n₁ 가 a1 1 (201) , 1
 (201) (200) , n₂ (>n₁) 가 b1 2 (202) , ,
 (300) , 2 (202) n₃ (=n₁) 가 c1 1 (301) ,
 1 (301) n₄ (>n₃) 가 2 (302) .
 , 1B (150) , 1A L1 , (151)
 1 (201) L1 , (152) 2 (202) L1 , (153) 1
 (301) L1 , (154) 2 (302) L1 .
 1 , 2 (302)((300)) 1 (201) n₁
 1 (301) n₃ , -0.6% , 2 (302) 2 n₂
 0.7% . , 1 (201) a1 3.04μm, 2 (202) b1 7.26μm, 1 (301) c1
 13.2μm, (100) (2 (302)) 125μm . ,

$$n_1 = (n_1 - n_4)/n_4$$

$$n_2 = (n_2 - n_4)/n_4$$

$$n_3 = (n_3 - n_4)/n_4$$

1 (100) 1550nm
 1550nm 0.17ps/nm/km ($< |5|$ ps/nm/km), 1550nm
 $(A_{eff}) 58\mu m^2 (> 45\mu m^2)$, 2m 1.153 $\mu m (> 1.0\mu m)$ 15
 30nm 0.018ps/nm²/km, 1550nm 0.007ps/nm²/km (< 0.03 ps/nm²/km), 1560nm 0.000
 ps/nm²/km 1550nm 0.11ps/km^{1/2} (< 0.15 ps/km^{1/2}) 2
 1 (100)

[2]

3 2
 1A (161) 1 (201) L1 (160) 1A L1
 (163) 1 (301) L1 (154) 2 (302) L1 (162) 2 (202) L1

2 (161) 1 (n_1) a1 3.75 μm , (162) 2
 ($n_2 > n_1$) b1 8.25 μm , (163) 1 ($n_3 = n_1$) c1 15.0 μm ,
 (164) 2 ($n_4 > n_3$) 125 μm 2 1
 $n_1 = (n_1 - n_4)/n_4$ 1 $n_3 = (n_3 - n_4)/n_4$ -0.60% 2
 2 $n_2 = (n_2 - n_4)/n_4$ 6.3%

2 1550nm
 1550nm 0.12ps/nm/km ($< |5|$ ps/nm/km), 1550nm
 $(A_{eff}) 72\mu m^2 (> 45\mu m^2)$, 2m 1.187 $\mu m (> 1.0\mu m)$ 1530nm
 0.0096ps/nm²/km, 1550nm -0.0120ps/nm²/km (< 0.003 ps/nm²/km), 1560nm -0.0265
 ps/nm²/km 1550nm 0.10ps/km^{1/2} (< 0.15 ps/km^{1/2}) 4
 2

[3]

5A 3 5B 5A L2
 L2 (500) O₂
 3 (500) 3 (600)
 (700) (600) n_1 가 a2 1 (601) 1 (601)
 $n_2 (< n_1)$ 가 b2 2 (602) 2 (602)
 $n_3 (> n_2)$ 가 c2 3 (603) (700) 3
 (603) $n_4 (< n_3)$ 가 d 1 (701) 1 (701)
 $n_5 (> n_4)$ 가 2 (702)
 5B (510) 5A L2 (511)
 1 (601) L2 (512) 2 (602) L2 (513) 3 (6
 03) L2 (514) 1 (701) L2 (515) 2 (702) L
 2

3 (702) (700) 1 (601) n₁
 0.58%, 2 (702) 2 (602) n₂ -0.10%, 2 (702) 3
 (603) n₃ 0.40%, 2 (702) 1 n₄ -0.27% . ,
 1 (601) a2 5.8μm, 2 (602) b2 16.2μm, 3 (603) c2 23.2μm, 1
 (701) d 46.4μm, (500) (2 (702)) 125μm . ,

$$n_1 = (n_1 - n_5) / n_5$$

$$n_2 = (n_2 - n_5) / n_5$$

$$n_3 = (n_3 - n_5) / n_5$$

$$n_4 = (n_4 - n_5) / n_5$$

3 (500) 1550nm
 1550nm - 2.2ps/nm/km (< |5|ps/nm/km, 1550nm
 (A_{eff}) 50μm² (> 45μm²), 2m 1.920μm (> 1.0μm) . , 15
 30nm 0.0129ps/nm²/km, 1550nm 0.0172ps/nm²/km (< 0.03ps/nm²/km), 1560nm 0.0
 198ps/nm²/km . , 1550nm 0.06ps/km^{1/2} (< 0.15ps/km^{1/2}) . , 6
 , 3

[4]

7 , 4 . , 4 ,
 5A (600) 가 3 가 ,
 (170) ,

(170) , 5A L2 , (171)
 1 (601) L2 , (172) 2 (602) L2 , (173) 3 (603)
 L2 , (174) 2 (702) L2 . , 4
 , 5A 1

4 , (171) 1 (n₁) a2 7.3μm, (172) 2
 (n₂ < n₁) b2 15.0μm, (173) 3 (n₃ > n₂) c2 22.0μm,
 (174) (n₄ < n₃) 125μm . , 1 n₁ (= (n₁ - n₄)/n₄) 0.58%,
 3 n₂ (= (n₂ - n₄)/n₄) -0.18%,
 n₃ (= (n₃ - n₄)/n₄) 0.27% .

4 1550nm
 1550nm - 0.37ps/nm/km (< |5|ps/nm/km), 1550nm
 (A_{eff}) 52.8μm² (> 45μm²), 2m 1.713μm (> 1.0μm) . , 1530nm
 0.0005ps/nm²/km, 1550nm 0.0005ps/nm²/km (< 0.003ps/nm²/km), 1560nm 0.0010p
 s/nm²/km . 20mm () 3.2dB/m . , 1550nm
 0.08ps/km^{1/2} (< 0.15ps/km^{1/2}) . , 8 , 4

9 , 1 4 1550nm
 . 5ps/nm/km , (A_{eff}) 45μm²
 , 가 0.03ps/nm²/km , 2m 1.0μm , 0.15ps/km^{1/2}
 .

가 (A_{eff}) 45μm²
 S/N 가 2m 1.0μm
 가 ()
 70μm² (3) (A_{eff})
) 3 (5A 5B) 2m
 가 km km
 가 가 1 4
 가

5B 가 10 3
) c2 (ps/mm²/km) 1 5 3 1 5 2m (μm) (3
 1 5 3 2 (b2/c2) 2
 3 n₃ 1 5 1 5
 3 c2) 2.0 2 1 (a2/c2) 0.25 3 1 (d/
 n₂ 1 n₄ -0.05% n₁ 0.6% 2 2

11A 11B 1 5 (3 c2) (ps/nm²/km)
 12A 12B 1 5 3 c2 (μm)
 3 11A 12B S1 1 S2 2 S3
 S4 4 S5 5

3 2 (b2/c2)가 3 n₃ 0.03ps/nm²/km
 2m 가 2m
 가 3 (3 가) 3
 4 (5) 3 13.
 8% · μm², 8.7% · μm² (9).

$$\int_{b/2}^{c/2} \Delta n(r) r dr \dots (5)$$

3(5A 5B) 13A 13C
 가 6 9 6 9 1550nm
 5A 가 1 2 3
 1 2
 6 13A (520) 가 (520) 5A L2
 (522) 2 (602) L2 (521) 1 (601) L2
 1 (701) L2 (523) 3 (603) L2 (524)
 (525) 2 (702) L2

6 , (521) 1 (n₁) a2 5.7μm, (522) 2 (n₂ < n₁) b2 14.7μm, (523) 3 (n₃ > n₂) c2 22.6μm, (524) 1 (n₄ = n₂) d 45.2μm, (525) 2 (n₅ > n₄) 125μm . , 2 n₁ (= (n₁ - n₅)/n₅) 0.60%, 2 n₂ (= (n₂ - n₅)/n₅) 1 n₄ (= (n₄ - n₅)/n₅) , -0.05%, 2 3 n₃ (= (n₃ - n₅)/n₅) 0.30% . , 3 1 (a2/c2) 0.25, 3 2 (b2/c2) 0.65 .

7 13B (530) 가 , (530) , 5A L2 (530) , (531) 1 (601) L (532) 2 (602) L2 , (533) 3 (603) L2 , (534) 1 (701) L2 , (535) 2 (702) L2 . , 7 (533) (3) 5B (510) (513) .

7 (531) 1 (n₁) a2 5.6μm, (532) 2 (n₂ < n₁) b2 12.6μm, (533) 3 (n₃ > n₂) c2 24.2μm, (534) 1 (n₄ = n₂) d 48.4μm, (535) 2 (n₅ > n₄) 125μm . , 2 n₁ (= (n₁ - n₅)/n₅) 0.60% , 2 n₂ (= (n₂ - n₅)/n₅) 1 n₄ (= (n₄ - n₅)/n₅) -0.05% , 2 3 n₃ (= (n₃ - n₅)/n₅) 0.41% . , 3 1 (a2/c2) 0.23, 3 2 (b2/c2) 0.52 .

8 13C (540) 가 , (540) , 5A L2 (540) , (541) 1 (601) L2 (542) 2 (602) L2 , (543) 3 (603) L2 , (544) 1 (701) L2 , (545) 2 (702) L2 . , 8 (541) (1) 5B (510) (511) .

8 (541) 1 (n₁) a2 8.6μm, (542) 2 (n₂ < n₁) b2 17.6μm, (543) 3 (n₃ > n₂) c2 25.2μm, (544) 1 (n₄ = n₂) d 50.4μm, (545) 2 (n₅ > n₄) 125μm . , 2 n₁ (= (n₁ - n₅)/n₅) 0.85%, 2 n₂ (= (n₂ - n₅)/n₅) 1 n₄ (= (n₄ - n₅)/n₅) , -0.05%, 2 3 n₃ (= (n₃ - n₅)/n₅) 0.29% . , 3 1 (a2/c2) 0.34 , 3 2 (b2/c2) 0.74 .

9 6 가 (13A) . , 9 , (521) 1 (n₁) a2 6.6μm, (522) 2 (n₂ < n₁) b2 1 8.9μm, (523) 3 (n₃ > n₂) c2 25.5μm, (524) 1 (n₄ = n₂) d 41.0μm, (525) 2 (n₅ > n₄) 125μm . , 2 n₁ (= (n₁ - n₅)/n₅) 0.50%, 2 2 n n₂ (= (n₂ - n₅)/n₅) 1 n₄ (= (n₄ - n₅)/n₅) , -0.15%, 2 3 26 , 3 n₃ (= (n₃ - n₅)/n₅) 0.43% . , 3 1 (a2/c2) 0. 가 가 (b2/c2) 0.74 . ,

3, 6, 9, 1550 μm , 14, (5), 7.0% $\cdot \mu\text{m}^2$.

13B, 가 (7), 3, c2(2), n₁ (= (n₁ - n₅)/n₅), 0.61%, 2, n₂ (= (n₂ - n₅)/n₅), -0.05%, 2, 3, n₃ (= (n₃ - n₅)/n₅), 0.35%, 2, 3, (a2/c2) 0.23, 3, 2, (b2/c2) 0.52, 3, (d/c2) 1.8.

15A, 15D, 15A, 3, c2(μm), (A_{eff}) (μm^2), 15B, 3, c2(μm), 20mm, (ps/nm²/km), 15D, 3, c2(μm), (ps/nm/km), L3,L4,L5,L6, (dot).

(< |5|ps/nm/km), 0.026 0.028ps /nm²/km, 1550nm -4 +4ps/nm/km, (< 0.03ps/nm²/km), 47 52 μm^2 , (A_{eff}) (> 45 μm^2) 가.

15C, A, 3, $\pm 2\%$, ($\pm 2\%$), ()

16A, 16B, 8, C2, (ps/nm/km), (ps/nm²/km), 16B, 16A, D, 8, DS, 8, 16A, 3, c2가, 16B, 가 $\pm 2\%$, 0.003ps/nm²/km/%, 가, (dB/m).

17A, 3, c2 22.4 μm , (mm), (dB/m), 2mm, L7, 0.04dB/m(=0.004dB/), 3, 17B, 3, c2 22.8 μm , (km), (μm), L8, L8, -252nm/decad, e, 2m, 2.080 μm , 200m, 가

2m (,
 , 5km).
 18A 1.5 , 3 (% · μm²) (ps/nm²/km)
 , 18B 1.5 3 (% · μm²) (μm)
 , 3 가 (3
 3 4) , 2m 1.4μm 가 , 0.03ps/nm²/k
 m , 18A 18B 3
 ((5)) 7.0% · μm² , 18A 18B S1 S5
 1.5 , .

가

1550nm 5ps
 /nm/km , , 가 0.03ps/nm²/km
 가 , 45μm²
 , 가
 0μm , S/N 가 , 2m 1.

70μm²

가

(57)

1.

1550nm 5ps/nm/km ;

1550nm 45μm² ;

1550nm 0.03ps/nm²/km ;

2m 1.0μm ;

1550nm 32mm 0.5dB/

가

2.

1 , 50μm² , 0.02ps/nm²/km

3.

1 , 가 2 가 1 , 1 1

4.

1 , 가 2 , 2 가 1 , 1 2 1 가
3 .

5.

1 , 1550nm 0.15ps/km^{1/2} 가 가 .

6.

1 , 2m 1.4μm .

7.

4 , 2 b, 3 c,
3 n₃ ,

n₃ 0.25%

0.40 b/c 0.75

8.

7 , 가 r
3 n(r) ,

$$\int_{b/2}^{c/2} \Delta n(r) r dr \geq 7.0(\% \cdot \mu\text{m}^2)$$

9.

7 , 3 3 가
1 , 가 2 , 1 1

1 a, 2 b, 3 c, 2 1
n₁, 2 1 n₄ ,

0.40% n₁ 0.90%

n_4 - 0.02%

0.20 a/c 0.35

20 μ m c 30 μ m

10.

1 , , 가 $\pm 2\%$

11.

1 , $\pm 2\%$ 0.003ps/nm²/
km

12.

1550nm , 45 μ m² , 0.03ps/nm²/km 가

가 1 2 가 0.6% 1
1 2 가 3 가 2 , 2

13.

12 , 50 μ m² , 0.02ps/nm²/km , 1550
nm , 5ps/nm/km 가 가

14.

12 , 1550nm , 0.15ps/km^{1/2} 가 가

15.

12 , 32mm 0.5dB/

16.

12 , 2 b, 3 c,
3 n_3 ,

n_3 0.25%

0.40 b/c 0.75

17.

16 3 , 가 r
 $n(r)$,
 $\int_{b/2}^{c/2} \Delta n(r) r dr \geq 7.0(\% \cdot \mu m^2)$

18.

12 , 3 3 가
 1 , 1 1
 가 2 ,
 1 a, 2 b, 3 c, 2 1
 n_1 , 2 1 n_4 ,
 $n_4 - 0.02\%$

0.20 a/c 0.35

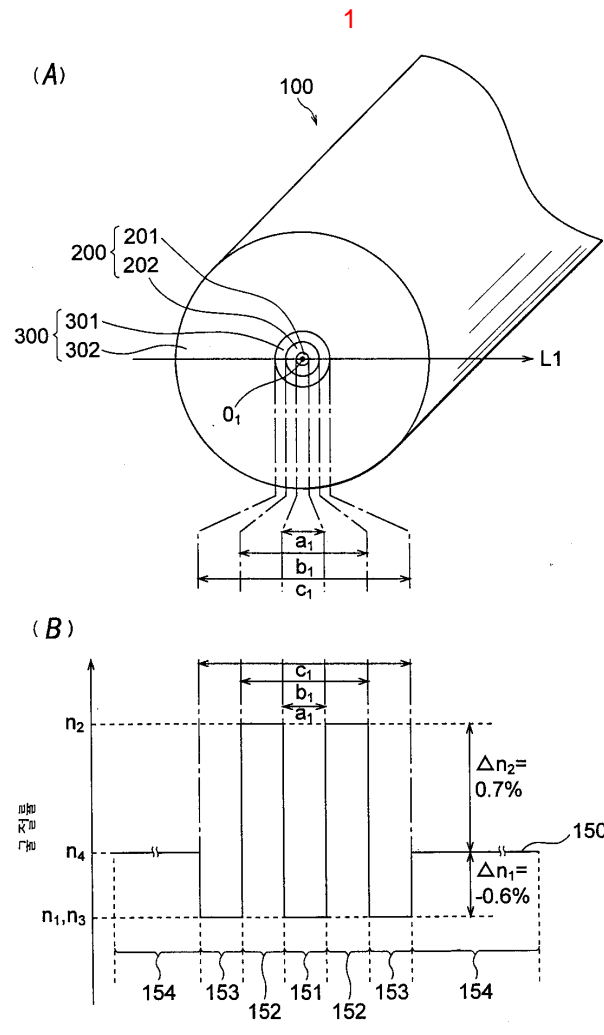
$20\mu m$ c $30\mu m$

19.

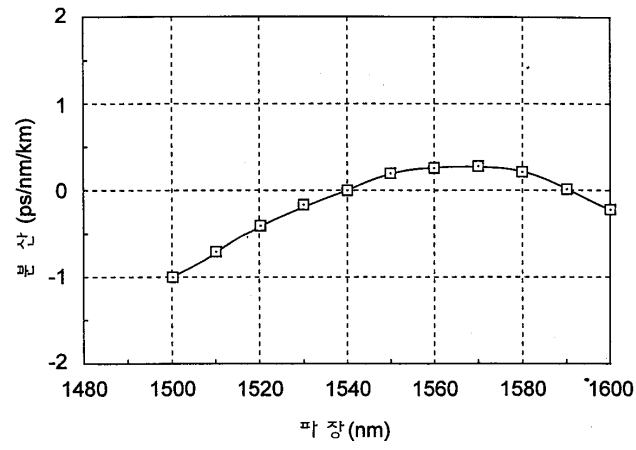
12 , , 가 $\pm 2\%$

20.

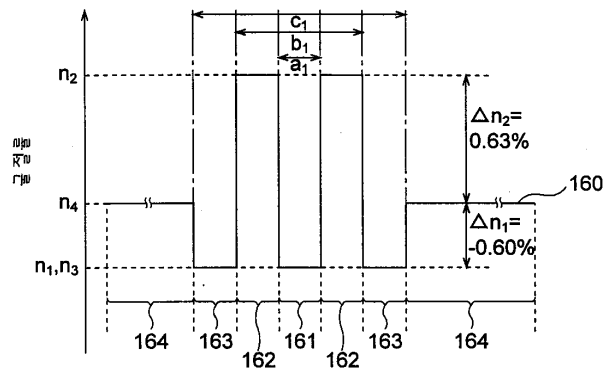
12 , $\pm 2\%$ $0.003ps/nm^2$
 /km



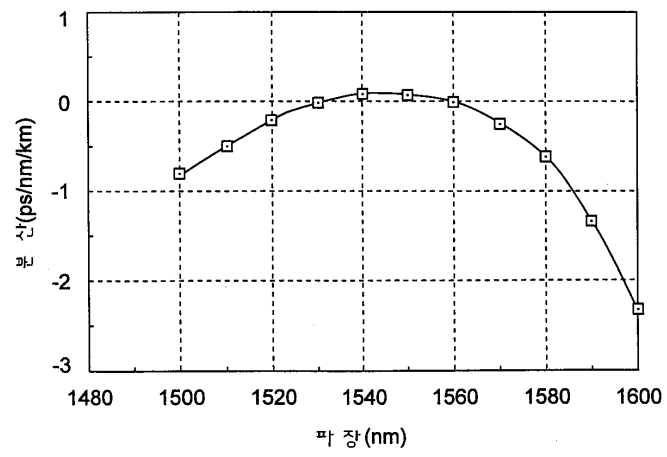
2



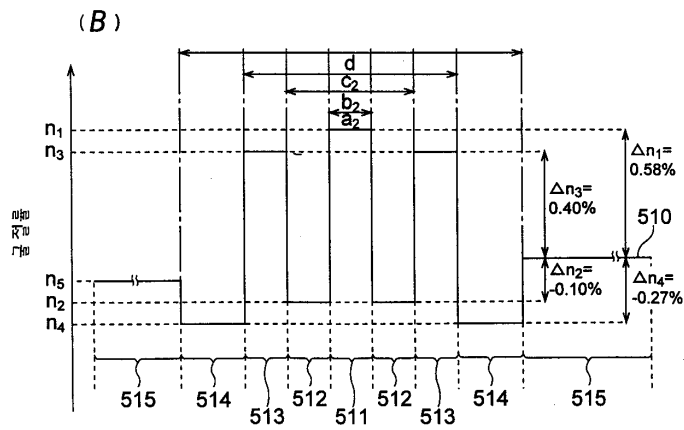
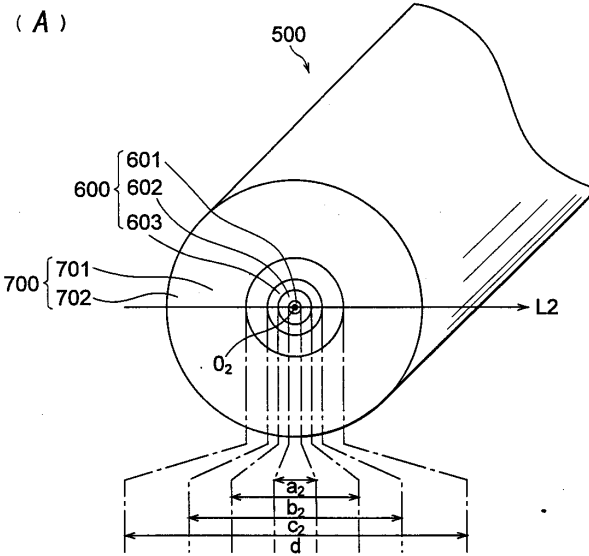
3



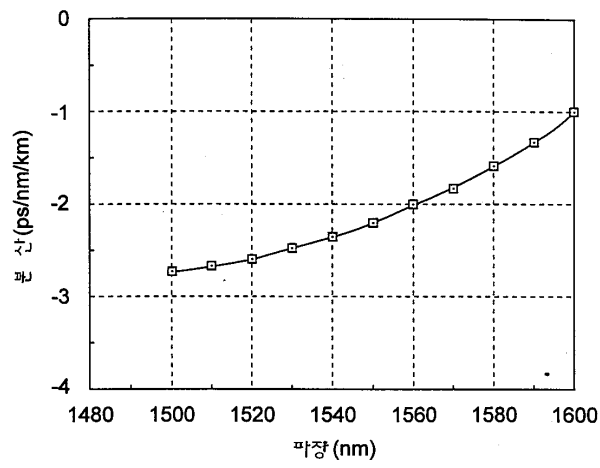
4



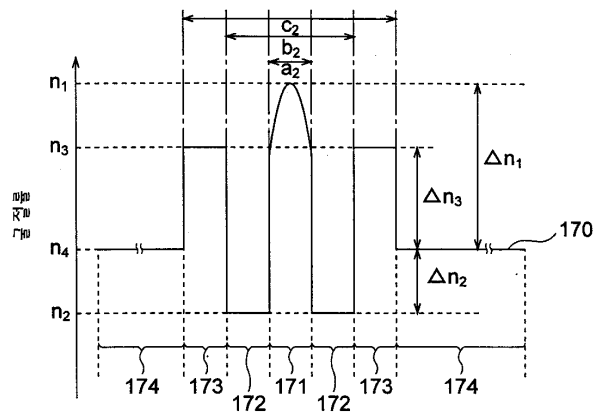
5



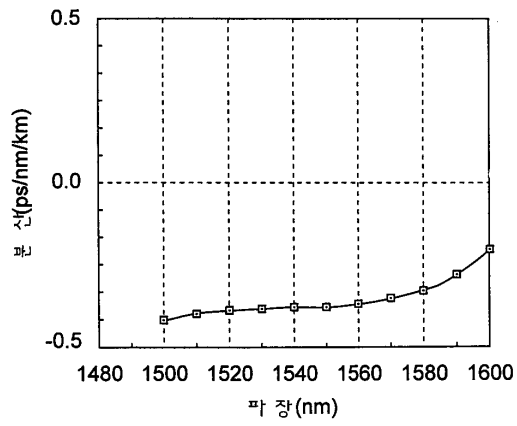
6



7



8



9

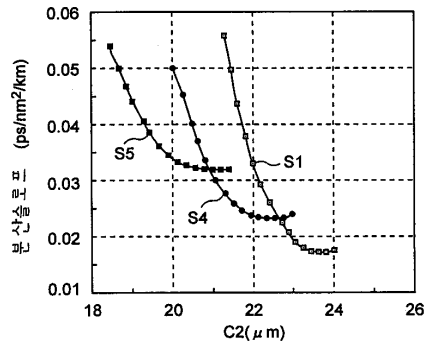
	검사에 1	검사에 2	검사에 3	검사에 4
퍼장분산 (ps/nm/km)	0.17	0.12	-2.2	-0.37
실로 단면적 (μm^2)	58	72	50	52.8
퍼장분산율로 AT 1530nm (ps/nm ² /km) AT 1550nm AT 1560nm	0.018 0.007 0.000	0.0096 -0.0120 -0.0265	0.0129 0.0172 0.0198	0.0005 0.0005 0.0010
차단퍼장 (μm)	1.153	1.187	1.920	1.713
편파분산 (ps/km ^{1/2})	0.11	0.10	0.06	0.08
포로 퍼링 · 불물 (% μm^2)	—	—	13.8	8.7

10

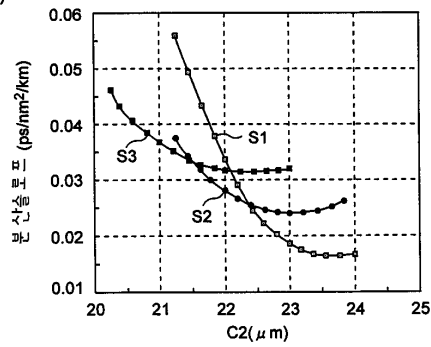
샘플	1	2	3	4	5
b2/c2	0.65	0.65	0.65	0.72	0.80
Δn_3	0.30	0.25	0.20	0.30	0.30

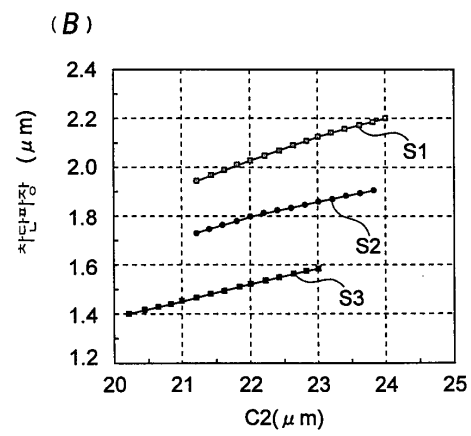
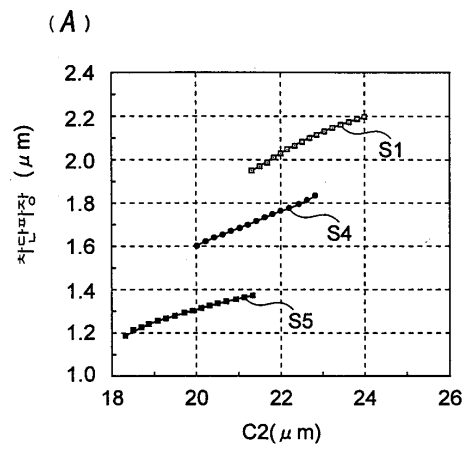
11

(A)

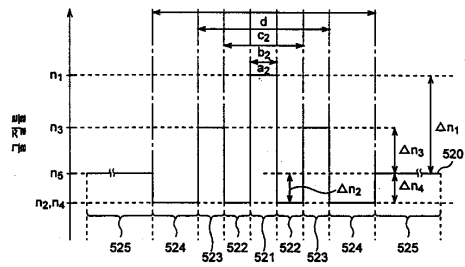


(B)

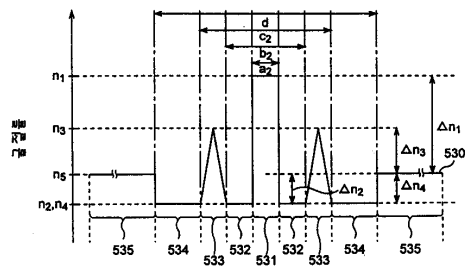




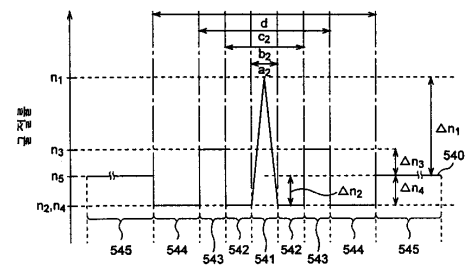
(A)



(B)



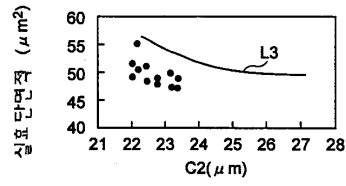
(C)



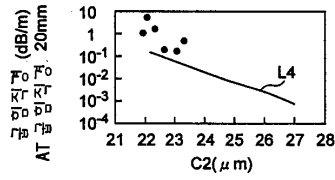
샘플	6	7	8	9
파장분산 (ps/nm/km) AT 1550nm	-2.1	-2.6	-1.6	+3.1
파장분산슬로프 AT 1550nm (ps/nm ² /km)	0.023	0.026	0.018	-0.010
실로 단면적 (μm^2)	50.2	50.7	50.7	53.9
차단파장 (μm) AT 2m	2.082	2.009	2.071	2.083
분광손실 (dB/m) AT분광적 32nm(dB/ 턴)	0.03 (0.003)	0.05 (0.005)	0.1 (0.01)	0.1 (0.01)
분광적용 (dB/m) AT분광적 20nm	0.8	1.1	7.7	9.6
편파분산 (ps/km ^{1/2}) AT 1550nm	0.07	0.05	0.03	0.07
프로파일 · 불물 (% μm^2)	11.1	9.7	11.7	15.6

15

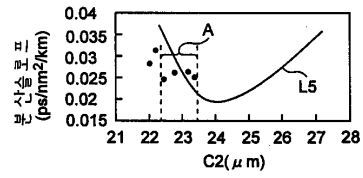
(A)



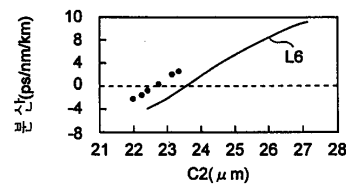
(B)



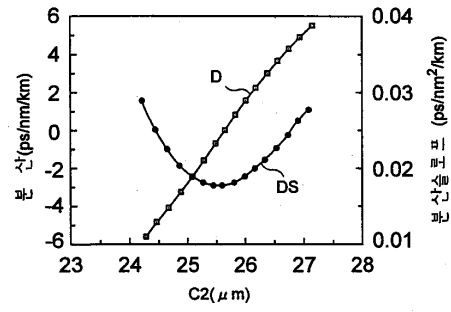
(C)



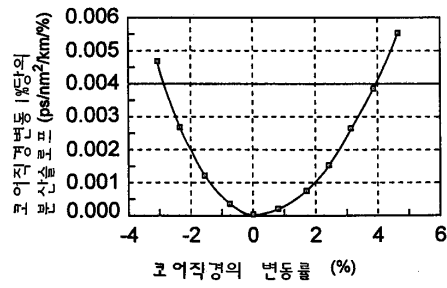
(D)



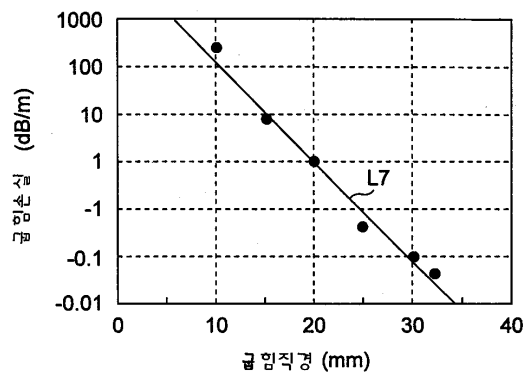
(A)



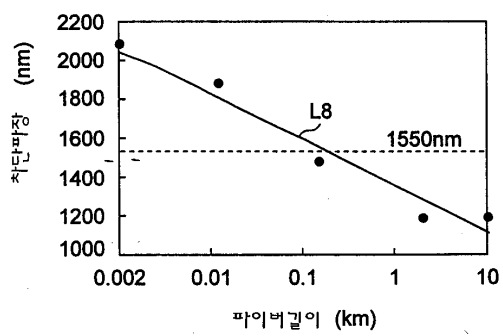
(B)



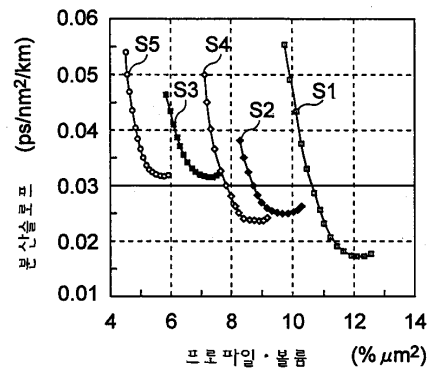
(A)



(B)



(A)



(B)

